

1 準備: ディレクトリ”UpperLimit/”

1.1 コード概略

- `sensitivity_upperlimit.m`: 重力波振幅のスピンダウンアッパーリミットと重力波検出器感度曲線を比較します。
- `checkDuplicatedData_ATNF_LIGOS5.m` LIGO S5 パルサーカタログのうち、ATNF カタログとダブっているものを見つけます。使わなくても良いです。出力は、LIGO S5 パルサーを除いた ATNF パルサーのリストです。

1.2 変数

- `ATNFPulsars.pulsarNames`: ATNF パルサーの J Name。
- `ATNFPulsars.pulsarData`: ATNF パルサーデータ行列。2 列目: 自転周波数 [Hz]、4 列目: 距離 [kpc]、5 列目: 連星系に含まれるか否か (1 = 含まれる)、6 列目: h_0 のスピンダウン上限値
- `LIGOS5Pulsars.pulsarNames`: LIGO S5 パルサーの J Name。
- `LIGOS5Pulsars.pulsarData`: LIGO S5 パルサーデータ行列。2 列目: 自転周波数 [Hz]、4 列目: 距離 [kpc]、5 列目: h_0 のスピンダウン上限値、6 列目: LIGO S5 の h_0 上限値、7 列目: 連星系に含まれるか否か (1 = 含まれる)、8 列目: 球状星団に含まれるか否か (1 = 含まれる)

データファイル

- `Pulsar_Catalogue/Catalogue_Description.txt` カタログの出所を示します。
- `Pulsar_Catalogue/ATNFPulsarCatalogue.mat`: ATNF Pulsar Catalogue
- `Pulsar_Catalogue/LIGOS5_NonGlitch_Pulsars.mat`: LIGO S5 non glitch pulsar catalogue
- `Detector_SensitivityCurve/BW2009_VRSEB.dat`: KAGRA 感度曲線 周波数と $\sqrt{S_h}$ が縦にならんでいます。
- `Detector_SensitivityCurve/BW2009_VRSED.dat`: KAGRA 感度曲線
- `Detector_SensitivityCurve/ZERO_DET_high_P.txt`: AdvLIGO 感度曲線

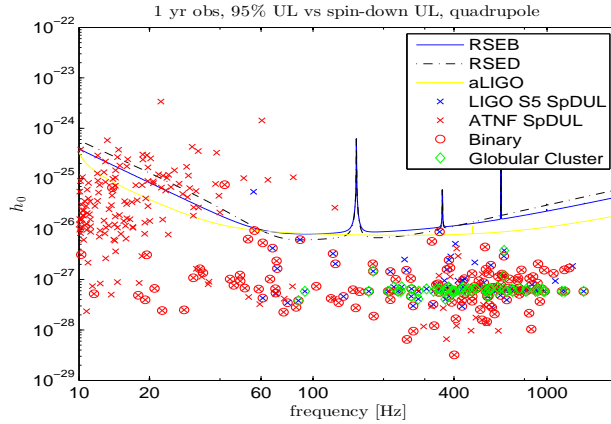


図 1: sensitivity_upperlimit.m を起動したときに最初に現れる図その1。ATNF pulsar catalogue から距離、自転周波数、自転周波数の微分が観測されているものをリストアップし、spin down upper limit を計算して、1年間積分した場合の ($\alpha, \delta, \psi, \iota$ について平均を取っている) 感度曲線と重ねてプロットした。

- Pulsar_Catalogue/LMXB_Watt2008_For_loadfunction.txt Watts et al 2008 の Table 1 から抜き出したデータです。1 列目: 周波数 [Hz]、2 列目: 距離 [kpc]、3 列目: bolometric X-ray flux F [10^{-8} erg cm^{-2} s^{-1}] です。

感度曲線の出所は、sensitivity_upperlimit.m のヘッダ参照。

1.3 演習

1. Octave を立ち上げ、sensitivity_upperlimit.m を起動してください。図 1 と 2 の 2 つが現れれば成功です。
2. 参考文献 [1] の式 (5)、Table 1 を利用して、同文献の Figure 2 を再現してください。式 (5) は

$$h_0 = 3 \times 10^{-27} F_{-8}^{1/2} \left(\frac{R}{10\text{km}} \right)^{3/4} \left(\frac{1.4M_{\odot}}{M} \right)^{1/4} \left(\frac{1\text{kHz}}{\nu_s} \right)^{1/2} \quad (1)$$

で、Table 1 は Pulsar_Catalogue に "LMXB_Watt2008_For_loadfunction_modified.txt" としてあります。データは octave/matlab の "load" 関数で取り込んで使ってください。図 3 のようなグラフを得られれば成功です。

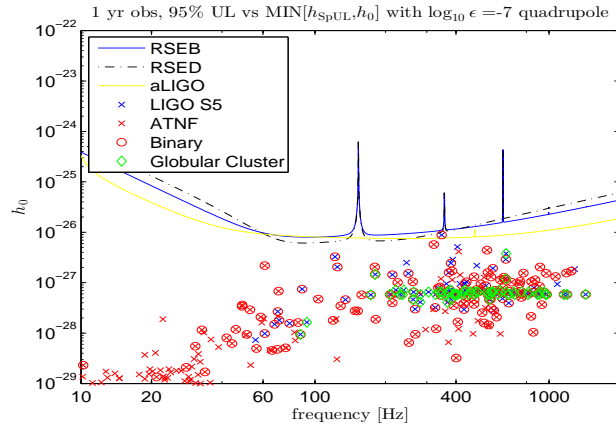


図 2: sensitivity upperlimit.m を起動したときに最初に現れる図その 2。ATNF pulsar catalogue から距離、自転周波数、自転周波数の微分が観測されているものをリストアップし、spin down upper limit を計算し、さらに $\epsilon = 10^{-7}$ のときの h_0 と比較して小さい方をプロットした。1 年間積分した場合の (α, δ, ψ, i について平均を取っている) 感度曲線の上に重ねている。

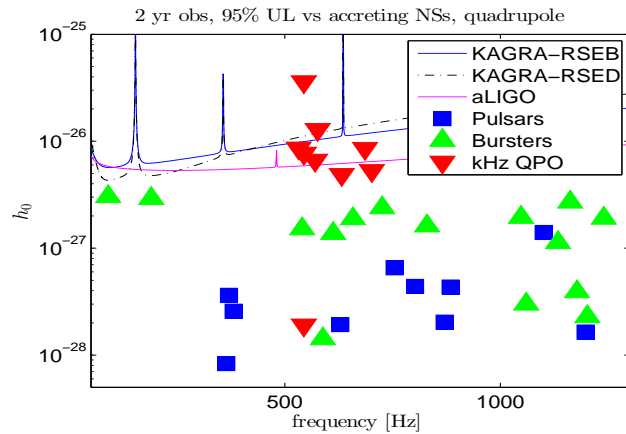


図 3:

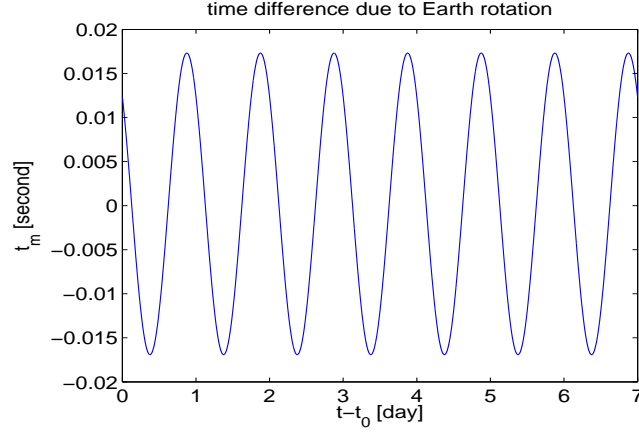


図 4: Roemer time delay due to the Earth rotation.

2 演習: ディレクトリ ”ComputeFStatistic/”

2.1 背景説明

2.1.1 信号モデル

次のような信号モデルを仮定します。

$$h(t) = F_+(t)h_+(t) + F_\times(t)h_\times(t), \quad (2)$$

$$h_+(t) = \frac{1}{2}h_0(1 + \cos^2 \iota) \cos 2\Psi(t), \quad (3)$$

$$h_\times(t) = h_0 \cos \iota \sin 2\Psi(t), \quad (4)$$

$$\begin{aligned} \Psi(t) &= \Phi_0 + \Phi(t) \\ &= \Phi_0 + 2\pi \sum_{k=0}^s f_0^{(k)} \frac{t^{k+1}}{(k+1)!} + \frac{2\pi}{c} \vec{n}_0 \cdot \vec{r}_d(t) \sum_{k=0}^s f_0^{(k)} \frac{t^k}{k!} \end{aligned} \quad (5)$$

このモデルでは、重力波信号はまず、波源(=パルサー) の方向 \vec{n}_0 、inclination angle ι 、パルサーの自転の初期位相 Φ_0 、周波数およびその時間微分 $f_0^{(k)}$ に依存します。また、検出器の太陽系重心 (Solar Sytem Barycenter = SSB) に対する位置ベクトル $r_d(t)$ と Beam pattern functions $F_{+,\times}(t)$ を通して、地球自転および公転の様子と重力波の偏極角 (polarization angle ψ) に依存します。

なお、ここでは簡単のため SSB と検出器との時間遅れは Roemer time delay のみを考えています。自転運動および公転運動による Roemer time delay の様子は、図 4, 5 にあります。

実際の解析では、JPL Ephemeris を用いて、Shapiro time delay (信号 SSB から検出器まで伝搬するときに、太陽による重力場の影響を受ける)、Einstein time delay (検出器の時計が地球の公転運動による特殊相対論的效果と地球の

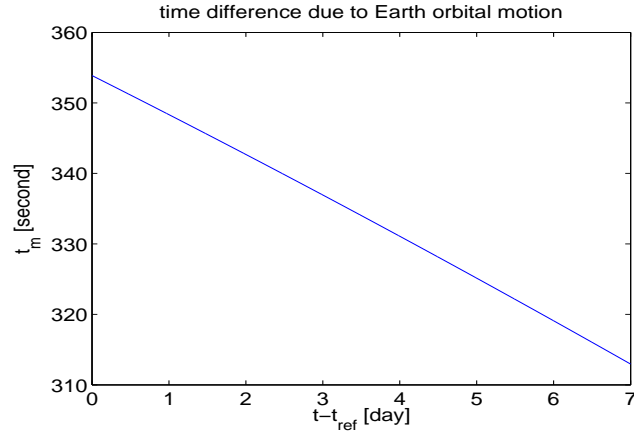


図 5: Roemer time delay due to the Earth orbital motion.

重力および太陽による重力の効果で影響を受ける)を考慮に入れます。また、重力波位相への他の効果としては、近傍のパルサーであれば、固有運動の効果、球状星団中のパルサーであれば星団の重力による加速運動の効果、連星中のパルサーであれば、連星運動の効果を検討に入れます。

Beam pattern functions $F_{+,\times}(t)$ は、

$$F_{+}(t) = a(t) \cos 2\psi + b(t) \sin 2\psi, \quad (6)$$

$$F_{\times}(t) = b(t) \cos 2\psi - a(t) \sin 2\psi, \quad (7)$$

$$(8)$$

と、amplitude modulation functions $a(t), b(t)$ を使って書けます。一方、後者は、地球の自転にしたがって時間変化する関数です。今回の演習では7日間のデータを使いますが、 a, b の様子を図6のようになります。

以上の信号モデルはさらに4つのモード (a, b と \cos, \sin それぞれの積)に分けることができます。

$$h(t) = \sum_{i=1}^4 A_i h_i(t), \quad (9)$$

$$h_1(t) = a(t) \cos 2\Phi(t), \quad (10)$$

$$h_2(t) = b(t) \cos 2\Phi(t), \quad (11)$$

$$h_3(t) = a(t) \sin 2\Phi(t), \quad (12)$$

$$h_4(t) = b(t) \sin 2\Phi(t) \quad (13)$$

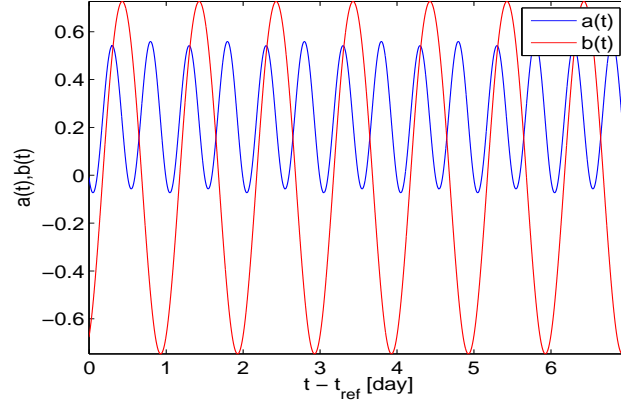


図 6: Amplitude modulation functions.

$$A_1 = h_0 \left[\frac{1}{2}(1 + \cos^2 \iota) \cos 2\psi \cos 2\Phi_0 - \cos \iota \sin 2\psi \sin 2\Phi_0 \right], \quad (14)$$

$$A_2 = h_0 \left[\frac{1}{2}(1 + \cos^2 \iota) \sin 2\psi \cos 2\Phi_0 + \cos \iota \cos 2\psi \sin 2\Phi_0 \right], \quad (15)$$

$$A_3 = h_0 \left[-\frac{1}{2}(1 + \cos^2 \iota) \cos 2\psi \sin 2\Phi_0 - \cos \iota \sin 2\psi \cos 2\Phi_0 \right], \quad (16)$$

$$A_4 = h_0 \left[-\frac{1}{2}(1 + \cos^2 \iota) \sin 2\psi \sin 2\Phi_0 + \cos \iota \cos 2\psi \cos 2\Phi_0 \right], \quad (17)$$

$$(18)$$

2.1.2 最尤推定法による信号検出

検出器のノイズがガウシアン統計にしたがうとし、検出器出力が

$$x(t) = n(t) + h(t) \quad (19)$$

とかけるとします。検出器のノイズがガウシアン統計にしたがうと仮定したので、尤度関数の対数は、

$$\ln \Lambda = (x|h) - \frac{1}{2}(h|h) \quad (20)$$

です。ただし、内積は

$$(x|y) \equiv 4\mathcal{R} \int_0^\infty \frac{\tilde{x}(f)\tilde{y}^*(f)}{S_h(f)} df \quad (21)$$

で、 S_h は検出器ノイズの片側パワースペクトル密度 (one-sided spectral density) です。あるいは、

$$\langle \tilde{n}(f)\tilde{n}^*(f') \rangle = \frac{1}{2}S_h(f)\delta(f-f') \quad (22)$$

です。ここでさらに観測時間 T_0 が有限であること、パルサーからの重力波はほとんど単色波であることを利用して $\ln \Lambda$ を以下のように書き直します。

$$\ln \Lambda = \frac{T_0}{S_h(2f_0)} \left[(x||h) - \frac{1}{2}(h||h) \right], \quad (23)$$

$$(x||y) \equiv \frac{2}{T_0} \int_{-T_0/2}^{T_0/2} x(t)y(t)dt \quad (24)$$

($2f_0 = f_{GW}$ としています。) 最尤推定法では、尤度関数を最大にする信号パラメータを求めます。実は、 A_i を用いると、尤度関数の最大化は、 h_0, ψ, ι, Φ_0 については解析的にできます。

$$\frac{\partial \ln \Lambda}{\partial A_i} = 0 \quad (25)$$

これを解くと、4つの振幅 A_i の最尤推定量は

$$\hat{A}_1 = 2 \frac{B(x||h_1) - C(x||h_2)}{D} \quad (26)$$

$$\hat{A}_2 = 2 \frac{A(x||h_2) - C(x||h_1)}{D} \quad (27)$$

$$\hat{A}_3 = 2 \frac{B(x||h_3) - C(x||h_4)}{D} \quad (28)$$

$$\hat{A}_4 = 2 \frac{A(x||h_4) - C(x||h_3)}{D} \quad (29)$$

$$(30)$$

とかけます。これを尤度関数に戻してやったものが F -statistic と呼ばれるものです。

$$F = \frac{T_0}{S_h} \frac{B(x||h_1)^2 + A(x||h_2)^2 - 2C(x||h_1)(x||h_2)}{D} \quad (31)$$

$$+ \frac{T_0}{S_h} \frac{B(x||h_3)^2 + A(x||h_4)^2 - 2C(x||h_3)(x||h_4)}{D} \quad (32)$$

したがって、 F -statistic は4つのパラメータ (h_0, ψ, ι, Φ_0) について最大化した尤度関数ということができます。残りのパラメータ $\tilde{n}_0, f_0^{(k)}$ については尤度関数を解析的に最大化することはできないので、数値的に尤度関数の最大化を図ります。すべてのパラメータについて最大化された F -statistic が事前に決めておいたしきい値を越えた場合、そのパラメータを持つ重力波信号の候補が見つかったこととなります。しきい値はたとえば False Alarm から決めることができます。

2.1.3 F-statistic の計算方法

F -statistic の計算には4つの実フィルター出力 ($x||h_i$) が必要になりますが、その代わりに2つの複素フィルター出力を使うこともできます。

$$F_a = \int_{-T_0/2}^{T_0/2} x(t)a(t) \exp[-i2\Phi_s(t)] \exp[-i4\pi f_0(t + t_m(t))] dt \quad (33)$$

$$F_b = \int_{-T_0/2}^{T_0/2} x(t)b(t) \exp[-i2\Phi_s(t)] \exp[-i4\pi f_0(t + t_m(t))] dt \quad (34)$$

ただし、 $\Phi_s(t)$ は周波数 f に依存しない位相成分で、より正確には

$$\Phi(t) = 2\pi f_0[t + t_m(t; \alpha, \delta)] + \Phi_s(t; f_0^{(k \geq 1)}, \alpha, \delta) \quad (35)$$

です。あるいは、SSB time $t_b = t + t_m(t)$ を使うと、 $dt \simeq dt_b$ より

$$F_a \simeq \int_{-T_0/2}^{T_0/2} x(t_b)a(t_b) \exp[-i2\Phi_s(t_b)] \exp[-i4\pi f_0 t_b] dt_b \quad (36)$$

$$F_b \simeq \int_{-T_0/2}^{T_0/2} x(t_b)b(t_b) \exp[-i2\Phi_s(t_b)] \exp[-i4\pi f_0 t_b] dt_b \quad (37)$$

とも書けます。よって、本来検出器時刻 t でサンプルされたデータを SSB の時刻 t_b でサンプルしなおしてやることによって、 F_a, F_b は FFT を使って高速に計算することができます。実習のコードではこのテクニックを使っています。

2.1.4 データ量を減らす

さらに、ある周波数帯域だけのみ興味がある場合、Complex heterodyning technique を使ってデータ量を減らすことができます。LIGO のデータは 16384Hz でサンプリングされているため、7日間のデータは実に 80GB (= 16384Hz × 7days × 86400seconds/day × 8byte for double) になります。今回の実習では 22Hz 付近でヘテロダインをおこない、帯域を 0.026Hz に制限した後、ダウンサンプルし、データ量を減らしています。減らした後のスペクトルは図 7, 時系列は 8 になります。

さらに Complex Heterodyned time series 使っている α, δ について F_a, F_b, F を求めた結果が図 9, 10 です。

2.2 コード概略

- `ComputeFStatistic_driver.m`: `ComputeFStatistic` コア関数のドライバーです。演習ではこちらを使います。

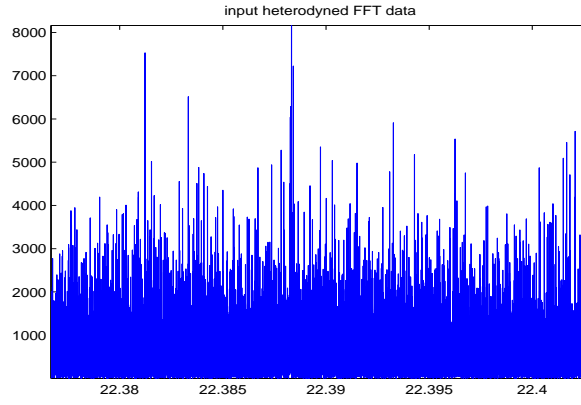


图 7: Powerspectrum of stiched Complex Heterodyned Band-limited FFTed Data

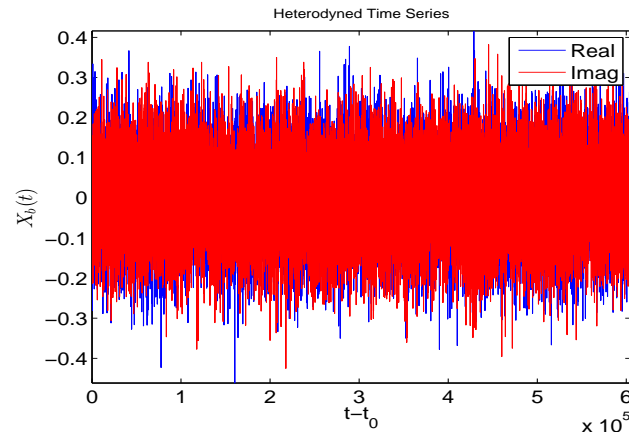


图 8: Complex Heterodyned Band-limited time series.

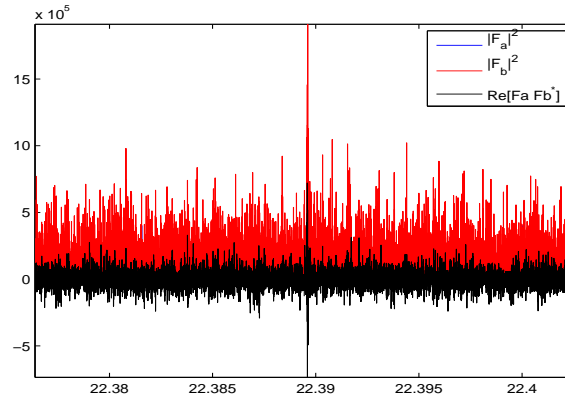


图 9: F_a and F_b at certain (α, δ) .

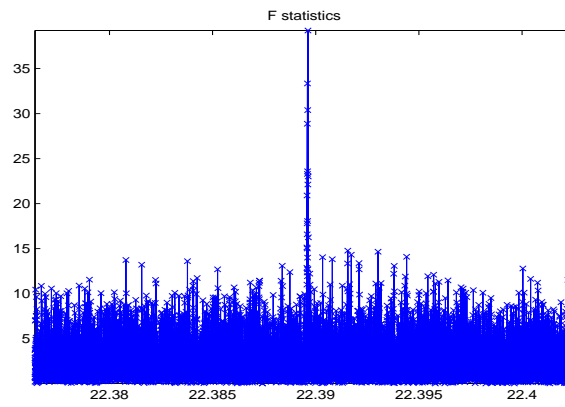


图 10: F-statistic at certain (α, δ) .

- `ComputeFStatistic.m`: F-statistic を計算するコアの関数です。講義で解説します。

コードで使用されている変数については、コードを見てください。

2.3 演習

1. Octave を立ち上げ、`ComputeFStatistic_driver.m` を起動してください。図が1 つ現れれば成功です。
2. `ComputeFStatistic_driver.m` を修正して、さまざまな (α, δ) で F-statistic を計算するコードを書いてください。周波数空間と天域のどこで最大の F-Statistic をとるか調べてください。周波数微分は探索しないでください。
3. 重力波振幅 h_0 の最尤推定量を求めてください。ただし簡単のため inclination は 0 度とします。
4. 簡単のため検出器ノイズがガウシアン分布にしたがうとします。検出した重力波信号の false alarm probability を計算してください。
5. 重力波振幅の 90% Confidence interval を求めてください。ただし簡単のためノイズはガウス分布とし、信号対雑音比の 2 乗 ρ^2 は

$$\rho^2 = \frac{4h_0^2 T_0}{25S_h}$$

とかけるとします。

F-statistic の参考文献は [2] や [3] です。

2.3.1 演習問題1

問題:「 Octave を立ち上げ、`ComputeFStatistic_driver.m` を起動してください。 図 11 が現れれば成功です。」

2.3.2 演習問題 2

問題:「 `ComputeFStatistic_driver.m` を修正して、さまざまな (α, δ) で F-statistic を計算するコードを書いてください。」

`ComputeFStatistic` 関数は、
`targetPrms.rightAscension_radian` と
`targetPrms.declination_radian`
 で与えられる赤道座標の様々な赤経・赤緯 (α, δ) に対して F-Statistic を計算、

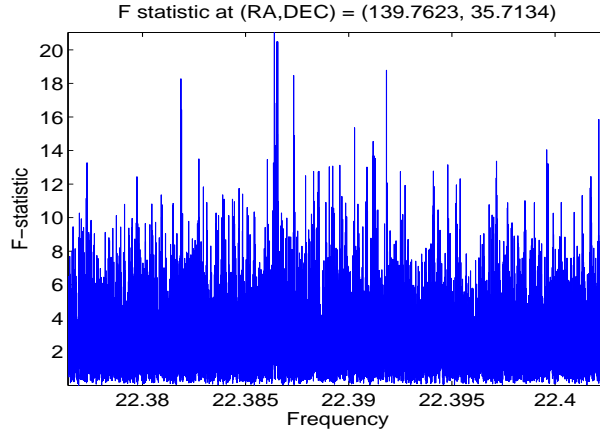


図 11: ComputeFStatistic driver.m を起動したときに最初に現れる図。

Fstat 変数として出力します。 (α, δ) の与え方は自由ですが、あまり細かく天域を区切ると、計算時間がかかります。結果は図 12 のようになります。図 12 は octave の contour 関数を利用しています。また、周波数については空の各方向で最大化しています。あるいは、

$$\max_{f \in B} F(f, \alpha, \delta) \quad (38)$$

(B は探索した周波数帯域) を図示しています。

2.3.3 演習問題 3

問題:「重力波振幅 h_0 の最尤推定量を求めてください。ただし簡単のため inclination は 0 度とします。」

関数 ComputeFStatistic は、以下を出力します。

$$\bar{F}_a(f) = \int_{-T_0/2}^{T_0/2} a(t) \bar{x}(t) e^{-i2\Phi_s(t)} e^{-i4\pi f(t+t_m(t))} dt \quad (39)$$

$$\bar{F}_b(f) = \int_{-T_0/2}^{T_0/2} b(t) \bar{x}(t) e^{-i2\Phi_s(t)} e^{-i4\pi f(t+t_m(t))} dt \quad (40)$$

ここで、 $\bar{x}(t)$ はノイズで規格化した時系列、

$$\bar{x}(t) = \int df \frac{X(f)}{\sqrt{S_h(f)}} e^{i2\pi ft} \quad (41)$$

です。 S_h は、探索したいパルサーの周波数から少し離れた信号の影響の無いと考えられる帯域のデータから推定します。このコードでは $t_m(t)$ として、Roemer time delay (~ 500 seconds)

$$ct_m(t) = \vec{n}_0 \cdot \vec{r}_d(t) \quad (42)$$

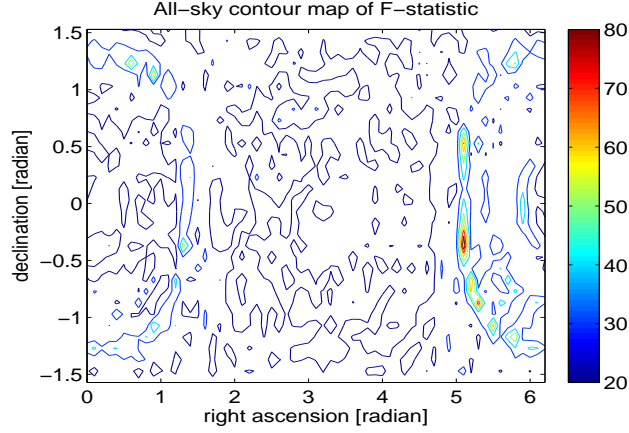


図 12: $\alpha = 0.1$ radians, $\delta = 0.1$ radians 刻みで天域を探索したときに得られる F -statistic の全天マップ。周波数については、周辺化している（空の各方向で、周波数については最大化している）。

のみを考慮に入れていきます。(実際の解析では Einstein time delay (\sim millisecond), Shapiro time delay (~ 100 microsecond) も考慮に入れます。) また、 \vec{n}_0 は赤道座標でのパルサーの単位方向ベクトル、 $r_d(t)$ は検出器の SSB に対する相対位置ベクトルです。近傍のパルサー（速度によりますが、たとえば 40pc 程度。[2] 参照）で固有運動を考える場合は \vec{n}_0 は時間変化しますが、このコードではそれは考慮に入れていません。

$a(t)$, $b(t)$, $\Phi_s(t)$, $t_m(t)$ は一般に探索パラメータ（赤径・赤緯、スピンドウンパラメータ） $(\alpha, \delta, f^{(s)})$, 検出器のパラメータ（経度、緯度、腕の向き、腕の間の角度） $(L, \lambda, \gamma, \zeta)$ とデータを特徴づけるパラメータ（観測開始時間、観測終了時間、観測開始時の地球自転位相、観測開始時の地球公転位相、データのギャップ = データ取得系や検出器のなんらかのトラブルで取得できなかったデータのこと、太陽系の SSB に対する運動） $(t_{start}, t_{end}, \phi_r, \phi_o, \text{gaps}, \text{ephemeris})$ に依存します。

F_a, F_b を使うと、 F -statistic は以下のようにかけます。

$$F(f) = \frac{4}{T_0} \frac{B|F_a|^2 + A|F_b|^2 - 2CR(F_a F_b^*)}{D} \quad (43)$$

4つの振幅 A_i (実数) の最尤推定量は

$$\hat{A}_1 + i\hat{A}_3 = 4 \frac{BF_a - CF_b}{T_0 D} \quad (44)$$

$$\hat{A}_2 + i\hat{A}_4 = 4 \frac{AF_b - CF_a}{T_0 D} \quad (45)$$

とかけます。一方 A_i の定義から、

$$\frac{1}{2} \sum_{i=1} \hat{A}_i^2 = h_0^2 \left(1 + \frac{1}{6} \cos^2 \iota + \cos^4 \iota \right) \quad (46)$$

とかけるので、 $\cos \iota = 1$ を仮定すると h_0 の推定値を得ます。

2.3.4 演習問題 4

問題:「簡単のため検出器ノイズがガウシアン分布にしたがうとします。検出した重力波信号の false alarm probability を計算してください。」

検出器ノイズがガウシアン分布にしたがうと仮定すると、 $2F$ は自由度 4 の χ^2 分布にしたがいます。観測された F -statistic の値がたとえば $2F_0 = 180$ だったとします。パラメータ空間の 1 点を探索してこの値を得たとすると FAP は

$$FAP = \int_{2F_0}^{\infty} d(2F) P(2F|4)(2F) = \left(1 + F_0 + \frac{1}{2} F_0^2 + \frac{1}{6} F_0^3 \right) \exp(-F_0) \quad (47)$$

ここで $P(\chi^2|\nu)$ は自由度 ν の χ^2 分布です。計算すると $\log_{10} FAP = -34$ で、これは実質的にゼロです。

いま、パラメータ空間のある領域を N 回、統計的に独立に探索をおこなったとすると、トータルな FAP^T は上の FAP の N 倍になります。

$$FAP^T = 1 - (1 - FAP)^N \simeq N \times FAP \quad (48)$$

N を 10^4 程度としても¹、 FAP を無視できます。

実際の観測では、たとえば、 $2F > 25$ 程度をパルサー候補とします。このときの FAP を求めてください。

2.3.5 演習問題 5

問題:「重力波振幅の 90% Confidence interval を求めてください。ただし簡単のためノイズはガウス分布とし、信号対雑音比の 2 乗 ρ^2 は

$$\rho^2 = \frac{4h_0^2 T_0}{25S_h}$$

とかけるとします。」

¹実際のところ、パラメータ空間で独立な探索試行回数を評価するのは難しいことです。ここでは、観測周波数幅 0.0261 Hz を Doppler 周波数幅 $22 \times 10^{-4} = 2.2 \times 10^{-3}$ Hz で割り、天域を 0.1radian 幅で探索していることから、 $4\pi/0.1^2$ をかけて $N = 10^4$ としています。より正確には [2] の方法を使いますが、恣意性は残ります。

ノイズがガウス分布にしたがう場合、 $2F$ は自由度 4, 非中心パラメータ ρ^2 の非中心 χ^2 分布 (non-central chi-square distribution) にしたがいいます。このとき、

$$\int_{-\infty}^{2F_0} P(\chi'^2 | \nu, \rho_u^2) d\chi'^2 = 0.05, \quad (49)$$

$$\int_{2F_0}^{\infty} P(\chi'^2 | \nu, \rho_l^2) d\chi'^2 = 0.05, \quad (50)$$

$$(51)$$

とすると、 $[\rho_l^2, \rho_u^2]$ が ρ^2 の 90 % Confidence interval になります。ここで $P(\chi^2 | \nu, \lambda)$ は自由度 ν , 非中心パラメータ λ の非中心 χ^2 分布です。たとえば、 $2F_0 = 180$ のとき、Matlab の `ncx2inv` 関数を使うと、 $[141, 230]$ となります。よって、

$$30\sqrt{\frac{S_h}{T_0}} = 1.2 \times 10^{-24} \leq h_0^{90} \leq 38\sqrt{\frac{S_h}{T_0}} = 1.6 \times 10^{-24} \quad (52)$$

が対応する h_0 の 90 % confidence interval になります。(実際使用した信号は $h_0 = 1.4 \times 10^{-24}$ です。)

今回の実習では、非中心 χ^2 分布は octave では build-in 関数ではないので、近似を使います。Abramowitz & Stegun [4] にしたがい、

$$P(\chi'^2 | \nu, \rho^2) \simeq P(x), \quad (53)$$

$$x = \left[\frac{2\chi'^2}{1+b} \right]^{1/2} - \left[\frac{2a}{1+b} - 1 \right]^{1/2}, \quad (54)$$

$$a = \nu + \rho^2, \quad (55)$$

$$b = \frac{\rho^2}{\nu + \rho^2} \quad (56)$$

として求めてください。ただし、 $P(x)$ は平均0、分散1の正規分布です。つまり、 χ'^2 から計算される変数 x を使うと、 x は近似的に正規分布にしたがうということを使います。

なお、

$$\rho^2 = (h|h) \quad (57)$$

であり、 ρ^2 の $\alpha, \delta, \psi, \iota$ についての平均を取ると

$$\langle \rho^2 \rangle_{\alpha, \delta, \psi, \iota} = \frac{4}{25} \frac{h_0^2 T_0}{S_h(2f_0)} \quad (58)$$

です [2]。ここで試行 1 回に対する 1 % false alarm probability を仮定すると、 $2F$ に対するしきい値が求まります。

$$0.01 = \int_{2F_{th}}^{\infty} d(2F) P(2F|4) \quad (59)$$

このしきい値に対して 10 % の false dismissal probability を仮定すると ρ^2 に対する上限値が求まります。

$$0.1 = \int_0^{2F_{\text{th}}} d(2F) P(2F|4, \rho_u^2) \quad (60)$$

これを解くと $\rho_u^2 = 20.7936$ となり、 h_0 に焼き直すと

$$h_0 = 11.4 \sqrt{\frac{S_h[1/Hz]}{T_0[\text{second}]}} \quad (61)$$

が、single template search をおこなった際の重力波振幅に対する 10 % false dismissal probability, 1 % false alarm probability の上限値になります。演習問題1 においてプロットした曲線はこの式で $T_0 = 1$ 年を仮定し、 S_h を KAGRA, AdvLIGO の検出器感度を使ってプロットしています。

参考文献

- [1] A. L. Watts, B. Krishnan, L. Bildsten, and B. F. Schutz. Detecting gravitational wave emission from the known accreting neutron stars. *Monthly Notices of the Royal Society of London*, 389:839–868, September 2008.
- [2] P. Jaranowski, A. Królak, and B. F. Schutz. Data analysis of gravitational-wave signals from spinning neutron stars: The signal and its detection. *Physical Review D*, 58(6):063001, September 1998.
- [3] P. Patel, X. Siemens, R. Dupuis, and J. Betzwieser. Implementation of barycentric resampling for continuous wave searches in gravitational wave data. *Physical Review D*, 81(8):084032, April 2010.
- [4] Milton Abramowitz and Irene A. Stegun, editors. *Handbook of Mathematical Functions with Formulas, Graphs, and Mathematical Tables*. Dover Publications, Inc. New York, 1972.